

長崎大学工学部 正員 小西保則  
長崎大学工学部 学生員 横井弘幸

## 1 まえがき

タイドアーチなどのように構造物が複雑になり部材数が多くなると変数・制約条件式共にその数が多くなる。そこで Suboptimization により変数・制約条件式の数を減らすことが出来、複雑な構造物または部材数の多い構造物に対しても容易に最適設計が可能で、合成桁、トラスについて最適設計を行つた結果を先に発表した。<sup>1), 2)</sup> 本研究においては、タイドアーチのアーチリアフ、タイ、ハンガー部材について真の制約条件となる 1 部材要素の変数に等しい数の制約条件式を導入し、これを用いて各部材要素の変数を全体に渡つて共通な変数の関数として表めし、之を目的関数へ代入することによつて、変数および制約条件式の数を減じ、その後全体にわたつて共通な変数について最適設計を行つて最適値を求めた。その結果について発表する。

## 2 最適設計手法

Suboptimization の方法として変数がある 1 つの部材要素のみの変数  $x_i$  と構造物全体に共通な変数  $y_i$  に分ける。先ず  $x_i$  について一定の  $y_i$  に対して前述の方法で  $x_i$  を求め、 $x_i$  を  $y_i$  の関数として表わす。之を用いて構造物全体の制約条件式・目的関数を  $y_i$  の関数とし SUMT 法により最適設計を行ない最適値を求めた。制約条件のない場合の最適化の手法として Davidon-Fletcher-Powell の提案した手法を用いた。

## 3 タイドアーチの最適設計

本研究の手法を用いて Fig. 1, Fig. 2 に示す 10 格間のタイドアーチについて最適設計を行つた。

設計条件: 1) 支間: 80m,

2) 橋種: 1 箇橋 (TL 20),

3) 示方書: 鋼道路橋設計示方書, 4) 有効幅員: 10 m,

5) 型式: 2-ヒンジド. 71 ドアーチ, 6) アーチ軸線形,

状: 放物線

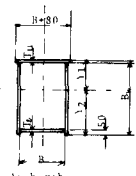


Fig. 3 Cross section

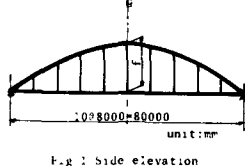
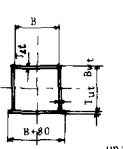


Fig. 1 Side elevation

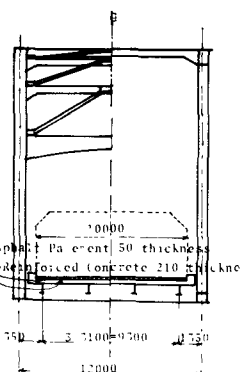


Fig. 2 Cross section of bridge

設計変数: 設計変数の内  $x_i$  に属するものは鋼種  $S$  ( $S = 4, 41\text{キロ鋼}; S = 5, 50\text{キロ鋼}; S = 6, 60\text{キロ鋼}$  とし、ハンガーについては  $S = 4$  とする)、アーチリアフの  $T_{ui} \sim T_{u5}, T_{ei} \sim T_{e5}, T_{ti} \sim T_{t5}$ 、ハンガーの  $T_{f1} \sim T_{f5}, B_{f1} \sim B_{f5}$  の 21 個とし、 $y_i$  に属するものは  $f, B, A$ -アーチリアフの  $B_w, T_w, B_u$  の 5 個とする。他に  $T_{ut} = T_{wt} \times (B + 4.0) / (B + 8.0), T_{et} = T_{wt} \times (B + 4.0) / B$  で計算する。これらの記号は Fig. 3 に示す。

制約条件式:

1) アーチリアフ部材:

$$\rho_{umi} / \rho_{rai} + \rho_{uni} / \rho_{cal} - 1.0 \leq 0 \quad (i = 1 \sim 5) \quad \dots \dots \dots \quad (1)$$

$$\rho_{emi} / \rho_{rai} + \rho_{eni} / \rho_{cal} - 1.0 \leq 0 \quad (i = 1 \sim 5) \quad \dots \dots \dots \quad (2)$$

$$e_i / r_{yi} - 120 \leq 0 \quad (i = 1 \sim 5) \quad \dots \dots \dots \quad (3), \quad B / y_i - T_{ui} \leq 0 \quad (i = 1 \sim 5).$$

$$B / y_i - T_{ei} \leq 0 \quad (i = 1 \sim 5) \quad (5), \quad T_{ti} - T_a \leq 0 \quad (i = 1 \sim 5 \text{ の内最大の } i \text{ を用いる}) \quad \dots \dots \dots \quad (6)$$

$$B_w / y_{wi} - T_w \leq 0 \quad (i = 1 \sim 5 \text{ の内最大の } B_w / y_{wi} \text{ を用いる}) \quad \dots \dots \dots \quad (7)$$

2) 7.1 部材:

$$\sigma_{xi} - \sigma_{at} \leq 0 \quad (8), \quad l/r_y - 200 \leq 0 \text{ または } l/r_x - 200 \leq 0 \text{ の内 } l/r_y, l/r_x \text{ の大きい方を用} \\ \text{い} \quad (9), \quad B/80 - T_{ut} \leq 0 \quad (10) \quad B/80 - T_{et} \leq 0 \quad (11)$$

3) ハンガー部材:

$$\sigma_{xi} - \sigma_{at} \leq 0 \quad (i=1 \sim 5) \quad (12), \quad l_{xi}/r_{xi} - 200 \leq 0 \quad (i=1 \sim 5) \text{ または } l_{yi}/r_{yi} - 200 \leq 0 \quad (i=1 \sim 5) \\ \text{の内 } l_{xi}/r_{xi}, l_{yi}/r_{yi} \text{ のどちらか大きい方を用い} \quad (13), \quad B_{fi}/32 - T_{fi} \leq 0 \quad (i=1 \sim 5) \quad (14) \\ \text{全体について } S - \delta_a \leq 0 \quad (15)$$

ここに  $\sigma_{umi}$ ,  $\sigma_{uni}$ : 上フランジの合成圧縮応力が最大になるような載荷状態のちびごの曲げモーメントおよび圧縮直応力による上フランジ縫端圧縮応力度,  $\sigma_{emi}$ ,  $\sigma_{eni}$ : 下フランジの合成圧縮応力が最大になるような載荷状態のちびごの曲げモーメントおよび圧縮直応力による下フランジ縫端圧縮応力度,  $\sigma_{ta}$ : アーチリアの許容曲げ圧縮応力度,  $\sigma_{ca}$ : アーチリアの許容圧縮応力度,  $\sigma_a$ : タイおよびハンガーの許容引張応力度,  $r_{xi}$ : アーチリア, タイ, ハンガーのY-Y軸に関する最小回転半径,  $r_{xi}$ : アーチリア, タイ, ハンガーのX-X軸に関する最小回転半径,  $T_a$ : アーチリアのせん断応力度,  $T_a$ : アーチリアの許容せん断応力度,  $T_f$ : アーチリア上・下フランジフレートの弱部底屈防止のための板幅と板厚の比,  $T_w$ : アーチリアのウェブフレートの底屈防止のためのウェブフレート高さと板厚の比である。なお、板厚Tは最小9mmとした。

目的関数: 目的関数は次式で計算する。  $COST = V \times \{0.3F1 + (0.764 + 0.236F2) \times 0.7\} \quad (16)$   
ここで  $V$ : アーチリア各部材の Volume である。また鋼材費と製作費の比率は  $SS41$  に対し  $0.3 : 0.7$  とし鋼材費と製作費の内緒接費は鋼種の関数とし、次式のように数式化した。鋼材費:  $F1 = 0.084S^2 - 0.595S + 2,036$ , 製作費:  $F2 = 0.0865S^2 - 0.7415S + 2.582 \quad (17)$  また緒接費以外の製作費と緒接費との比率は  $0.764 : 0.236$  とした。これらの諸数値は昭和40年から現在までの15年間の橋梁製作会社の実績の推移にもとづいて算定した。

許容応力およびの数式化: ここで  $\sigma_{ta}$ ,  $\sigma_{at}$ ,  $\sigma_{ca}$ ,  $T_a$ ,  $\gamma$ ,  $\beta_b$  はいずれも  $S$  の関数とし次式のように定式化した。 $\sigma_{ta} = \sigma_{at} = 100S^2 - 400S + 1400 \quad (18)$ ,  $T_a = 50S^2 - 150S + 600 \quad (19)$

$FG1 = 2S^2 - 23S + 80$ ,  $FG2 = -13S + 145$ ,  $\sigma_{ua2} = 1.7S^2 - 10.7S + 24$ ,  $\sigma_{ua3} = 150S^2 - 3050S + 16500$  とし、 $\lambda = l/r$  とするとき  $\lambda < FG1$   $\sigma_{ca} = \sigma_{ta} \quad (21)_a$ ,  $FG1 \leq \lambda \leq FG2$   $\sigma_{ca} = \sigma_{ta} - \sigma_{ua2}(\lambda - FG1) \quad (21)_b$

$FG2 < \lambda$   $\sigma_{ca} = 1.2 \times 10^7 / (\sigma_{ua3} + \lambda^2) \quad (21)_c$ ,  $\gamma = -6S + 64 \quad (22)$ ,  $\beta_b = b/(a_1\gamma^2 + a_2\gamma + a_3) \quad (23)$

$\psi = (\sigma_t - \sigma_a) / \sigma_t$ , ここで  $\sigma_t$ ,  $\sigma_a$  はそれぞれ腹板に作用する最大応力度および最小応力度で

$a_1 = 0.5S^2 - 8.5S + 52$ ,  $a_2 = -0.5S^2 + 45S - 6$ ,  $a_3 = \gamma \quad (23)_a$  である。

#### 4 最適設計結果

最適値を求めるための準備計算として、アーチリアの一定のモーメント、圧縮力に対して、アーチリア強度のウェブ高  $B_w$ 、弦材幅  $B$  を変えて計算した結果を Fig. 4 に示す。これによると  $S = 5$  では最適値は  $B_w = 140\text{cm}$ ,  $B = 70\text{cm}$  位と推定される。最適設計結果については後日発表する。

#### 参考文献:

1) 小西保則: Suboptimizationによる合成工形げたの最適設計について、土木学会、第33回年次学術講演会講演概要集、第1部 PP 264 - PP 265, 1978-9.

2) 小西保則: Suboptimizationによるトラスの最適設計、土木学会、西部支部学術講演会講演概要集、PP 17 - PP 18, 1979-2.

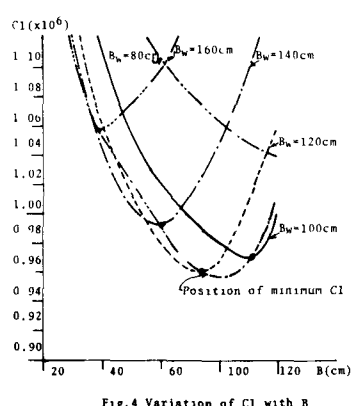


Fig. 4 Variation of  $C1$  with  $B$